

(12) МЕЖДУНАРОДНАЯ ЗАЯВКА, ОПУБЛИКОВАННАЯ В СООТВЕТСТВИИ С
ДОГОВОР О ПАТЕНТНОЙ КООПЕРАЦИИ (РСТ)

(19) Всемирная Организация
Интеллектуальной Собственности
Международное бюро



(10) Номер международной публикации

WO 2010/098733 A1

(43) Дата международной публикации
02 сентября 2010 (02.09.2010)

РСТ

(51) Международная патентная классификация:
H02N 11/00 (2006.01) **H01J 65/04** (2006.01)

(21) Номер международной заявки: РСТ/UA2010/000004

(22) Дата международной подачи:
18 февраля 2010 (18.02.2010)

(25) Язык подачи: Русский

(26) Язык публикации: Русский

(30) Данные о приоритете:
а 2009 01708 26 февраля 2009 (26.02.2009) UA

(72) Изобретатели: и

(71) Заявители : КРЮК, Виталий Григорович (KRIUK, Vitalii Grigorovich) [UA/UA]; ул. Героив Севастополя, 23А, кв.247, Киев, 03061, Киев (UA). БЕЛЬДИЙ Микола Миколайович (BELDIH, Mykola Mykolaevich) [UA/UA]; ул. Радунска, 5Б, кв, 69, Киев, 02097, Киев (UA). ЯЦЫШИН, Виталий Анатолійович (IATSYSHYN, Vitalii Anatolievich) [UA/UA]; проспект Маяковского, 30А, кв. 189, Киев, 02217, Киев (UA).

(74) Общий представитель: КРЮК, Виталий Григорович (KRIUK, Vitalii Grigorovich); ул. Героев Севастополя, 23А, кв.247, Киев, 03061, Киев (UA).

(81) Указанные государства (если не указано иначе, для каждого вида национальной охраны): AE, AG, AL, AM, AO, AT, AU, AZ, BA, BB, BG, BH, BR, BW, BY, BZ, CA, CH, CL, CN, CO, CR, CU, CZ, DE, DK, DM, DO, DZ, EC, EE, EG, ES, FI, GB, GD, GE, GH, GM, GT, HN, HR, HU, ID, IL, IN, IS, JP, KE, KG, KM, KN, KP, KR, KZ, LA, LC, LK, LR, LS, LT, LU, LY, MA, MD, ME, MG, MK, MN, MW, MX, MY, MZ, NA, NG, NI, NO, NZ, OM, PE, PG, PH, PL, PT, RO, RS, RU, SC, SD, SE, SG, SK, SL, SM, ST, SV, SY, TH, TJ, TM, TN, TR, TT, TZ, UA, UG, US, UZ, VC, VN, ZA, ZM, ZW.

(84) Указанные государства (если не указано иначе, для каждого вида региональной охраны): ARIPO (BW, GH, GM, KE, LS, MW, MZ, NA, SD, SL, SZ, TZ, UG, ZM, ZW), евразийский (AM, AZ, BY, KG, KZ, MD, RU, TJ, TM), европейский патент (AT, BE, BG, CH, CY, CZ, DE, DK, EE, ES, FI, FR, GB, GR, HR, HU, IE, IS, IT, LT, LU, LV, MC, MK, MT, NL, NO, PL, PT, RO, SE, SI, SK, SM, TR), OAPI (BF, BJ, CF, CG, CI, CM, GA, GN, GQ, GW, ML, MR, NE, SN, TD, TG).

Опубликована:

- с отчётом о международном поиске (статья 21.3)
- до истечения срока для изменения формулы изобретения и с повторной публикацией в случае получения изменений (правило 48.2(h))

(54) Title: GENERATOR OF EXCESS ELECTROMAGNETIC ENERGY

(54) Название изобретения : ГЕНЕРАТОР ИЗБЫТОЧНОЙ ЭЛЕКТРОМАГНИТНОЙ ЭНЕРГИИ

(57) Abstract: What is claimed is a generator of excess electromagnetic energy ("generator") for illuminating gas discharge (fluorescent) lamps of advertising devices, interior spaces, open spaces, etc. The basis of the generator is a Kriuk antenna (Ukrainian Patent No. 79626), with the Earth's electromagnetic field being excited in a limited (local) area around said antenna and with the gas molecules in the gas discharge lamps being ionized until light is generated. Owing to the fact that the electromagnetic field of the Kriuk antenna is limited spatially and that to Earth's electromagnetic field is relatively unlimited spatially, excess electromagnetic energy is produced; that is to say that the coefficient of energy conversion is greater than unity. It has been established by experimental means that this coefficient is no less than four times unity (> 400 %), that is no less than the coefficient of energy conversion of known heat pumps (~ 400 %). A subjective analysis of the magnitude of the luminous flux from gas discharge lamps with objective monitoring of the magnitude of the energy consumption demonstrates that said coefficient results in a magnitude of the order of twenty times unity (~ 2000 %).

(57) Реферат: Предлагается генератор избыточной электромагнитной энергии (далее генератор) для освещения газоразрядными (люминесцентными) лампами рекламных устройств, помещений, открытых пространств и так далее. Основу генератора составляет антенна Крюка (патент Украины № 79626), в ограниченном (локальном) пространстве вокруг которой возбуждается электромагнитное поле Земли и ионизируются до свечения молекулы газа в газоразрядных лампах. За счет ограниченности в пространстве электромагнитного поля антенны Крюка и относительно неограниченного в пространстве электромагнитного поля Земли имеем избыточную электромагнитную энергию; то есть, коэффициент преобразования энергии больше единицы. Экспериментально установлено, что этот коэффициент не меньше четырех единиц (> 400 %) - не меньше коэффициента преобразования энергии известными тепловыми насосами (~ 400 %). Субъективная оценка величины светового потока от газоразрядных ламп при объективном контроле величины расходной энергии свидетельствует, что упомянутый коэффициент достигает величины порядка двадцати единиц (~ 2000 %).

WO 2010/098733 A1

Генератор избыточной электромагнитной энергии

Изобретение относится к отрасли энергетики и может применяться для освещения рекламных устройств, помещений и открытых пространств, например, улиц.

В настоящее время в ведущих странах мира ведутся интенсивные исследования и патентование генераторов избыточной энергии. При этом, при отсутствии всеобъемлющей обоснованной теории источника происхождения избыточной энергии, его связывают с энергией физического вакуума. Об этом свидетельствуют как обобщающие статьи в периодике [1], так и монографии [2].

Важно, что в работах [3, 4 и 5] существующая в современной науке абстракция “физический вакуум” (“окружающая среда”) наполнена электромагнетизмом, через который определяется естественное время, связанное с движением небесных светил: Земли, Луны, Солнца, и так далее. Это дало возможность заявить данное теоретически обоснованное и экспериментально подтвержденное данное изобретение, которое не имеет аналогов и прототипов.

Изобретением поставлена задача получить из окружающей среды избыточную электромагнитную энергию для освещения газоразрядными лампами.

Поставлена задача решается тем, что вокруг антенны Крюка [6], энергия питания которой возбуждает электромагнитное поле Земли и является затратной (расходной), размещаются газоразрядные лампы освещения, которые питаются в основном избыточной (сверхрасходной) энергией возбужденного электромагнитного поля Земли.

На фиг. 1 схематически изображен генератор избыточной электромагнитной энергии (далее генератор); фиг. 2-5 иллюстрируют описание генератора. На фиг. 2 изображена трактриса – кривая образования псевдосферы, половину формы которой имеет антенна Крюка (далее АК); на фиг. 3 иллюстрируется вид псевдосферы с параллелями и меридианами. На фиг. 4 показано состояние электрических и магнитных полей АК; фиг. 5 иллюстрирует условия эксперимента.

Генератор фиг. 1 содержит: 1 – АК, 2 – источник питания АК, 3 – одна из газоразрядных ламп освещения.

Рассмотрим работу генератора.

Для выполнения своих функций генератор должен иметь два свойства:

1. Генератор должен генерировать избыточную электромагнитную энергию – энергию электромагнитного поля Земли для освещения газоразрядными лампами.

2. Генератор должен ионизировать молекулы газа в газоразрядных лампах, что вызывает его свечение.

В описании АК [6], которая является катушкой индуктивности в форме полупсевдосферы, теоретически обосновано резонансное взаимодействие электромагнитной энергии собственно АК и электромагнитной энергии собственно Земли в форме

$$\int_{V_{\Pi}} \operatorname{div}[\vec{E}\vec{H}] dV_{\Pi} = - \int_{V_{\Pi\oplus}} \operatorname{div}[\vec{E}_{\oplus}\vec{H}_{\oplus}] dV_{\Pi\oplus}, \quad (1)$$

где $\operatorname{div}[\vec{E}\vec{H}]$ – движение электромагнитной энергии, связанной из АК, в объеме псевдосферы V_{Π} ; $-\operatorname{div}[\vec{E}_{\oplus}\vec{H}_{\oplus}]$ – встречное движение электромагнитной энергии, связанной с Землей в объеме псевдосферы $V_{\Pi\oplus}$. Но, уравнение (1) не определяет в явной форме отмеченные выше два необходимых свойства генератора.

Для определения отмеченных свойств обратим внимание на трактрису фиг. 2. Трактриса является геометрическим местом точек одного конца отрезка $AO = MP = a = \text{const}$, второй конец которого двигается по прямой $X'X$, образуя с ней угол φ . В любой точке трактрисы отрезок $a = \text{const}$ есть касательным к трактрисе; прямая $X'X$ является асимптотой трактрисы. Описывается трактриса уравнением

$$\begin{aligned} x &= a \cos \varphi + a \ln \operatorname{tg} \frac{\varphi}{2}, \\ y &= a \sin \varphi. \end{aligned} \quad (2)$$

Вращением трактрис вокруг асимптоты $X'X$ образуется поверхность в форме псевдосферы фиг. 3 [7, стр. 822].

Расчеты, выполненные на компьютере в соответствии с требованиями уравнений (2) с шагом изменения угла φ на $0,1^\circ$ ($0,01^\circ$; $0,001^\circ$) при, например, $a = 10$ см, приведены в таблице (только для характерных углов φ). Результаты этих расчетов свидетельствуют: свойства трактрисы-псевдосферы таковы, что величина x при $\varphi = 180,0^\circ$ и $\varphi = 0,0^\circ$ имеет предел, то есть

$$\lim_{\substack{\varphi \rightarrow 180,0^\circ \\ \varphi \rightarrow 0,0^\circ}} = \text{const} = \frac{+363,31 \text{ см}}{-295,87 \text{ см}} = 1 \quad (3)$$

Таблица

φ (град)	a (см)	x (см)	y (см)
180,0	10,0	363,31	0,00
179,9		60,43	0,02
90,0		0,00	10,00
60,0		-0,49	8,66
45,0		-1,74	7,07
30,0		-4,51	5,00
16,0		-10,01	2,76
0,9		-38,47	0,16
0,1		-60,44	0,02
0,0		-295,87	0,00

В свою очередь, ограничение (3) свидетельствует: псевдосфера, будучи бесконечно удлиненным вдоль асимптоты $X'X$ телом, имеет конечный объем V_{Π} . Этот объем равен половине объема сферы V_c с радиусом $r = a$, то есть

$$V_{\Pi} = \frac{1}{2} V_c = \frac{2}{3} \pi a^3 = \frac{1}{2} \left(\frac{4}{3} \pi r^3 \right) \quad (4)$$

[7, стр. 827].

Учитывая, что АК имеет форму полупсевдосферы, на основе ограничения (3), пользуясь иллюстрацией фиг. 4, приходим к выводу: поскольку линии магнитного поля \vec{H} от действия тока \vec{I} являются касательными к виткам катушки индуктивности АК – к внутренней поверхности АК, как и отрезок $a = \text{const}$ к трактрисе – внутренней поверхности псевдосферы, то они также имеют предел (3) (они не замкнуты, они квантованы). Как следствие, ограничения (3) с учетом (4) приводят зависимость (1) к виду

$$\begin{aligned} V_{\Pi} &= \frac{1}{2} \left(\frac{4}{3} \pi l^3 \right) \\ \int_{V_{\Pi}} \text{div} [\vec{E} \vec{H}] dV_{\Pi} &\leq - \int_{V_{\Pi\Phi}} \text{div} [\vec{E}_{\oplus} \vec{H}_{\oplus}] dV_{\Pi\Phi}, \end{aligned} \quad (5)$$

$V_{\Pi\text{AK}} = \frac{1}{2} \left(\frac{2}{3} \pi a^3 \right) \approx 0$

где $V_{\Pi\text{AK}}$ – объем полупсевдосферы АК из $a = \text{const}$; V_{Π} – объем электромагнитного поля АК из $l = \text{const}$; при этом, поскольку согласно таблицы и (3) $l \gg a$, то $V_{\Pi} \gg V_{\Pi\text{AK}} \approx 0$. Существенно, что знак равенства в зависимости (5) действует тогда, когда, при равных величинах $\text{div} [\vec{E} \vec{H}]$ и $-\text{div} [\vec{E}_{\oplus} \vec{H}_{\oplus}]$ верхний предел интегрирования dV_{Π} будет равный верхнему пределу интегрирования $dV_{\Pi\Phi}$. Но, поскольку верхний предел интегрирования $dV_{\Pi\Phi}$ может быть большим и значительно больше от

верхнего предела интегрирования dV_{Π} то правая часть зависимости (5) может быть больше и значительно больше левой. Этот вывод является решающим для определения источника избыточной электромагнитной энергии генератора фиг. 1. То есть, знак неравенства в зависимости (5) утверждает, что при отборе электромагнитной энергии в пределах объема $V_{\Pi} = \frac{1}{2} \left(\frac{4}{3} \pi l^3 \right)$ она пополняется за счет объема $V_{\Pi\Phi} \gg V_{\Pi}$ – она генерируется электромагнитным полем Земли с объема $V_{\Pi\Phi} \gg V_{\Pi}$.

В итоге, зависимостью (5) доказано присущность генератору фиг. 1 первого, отмеченного выше, необходимого свойства. Далее о втором свойстве – способности ионизировать молекулы газа в газоразрядных лампах.

В описании АК [6] обоснованно замедление (квантование) длины волны излучения λ в свободном пространстве до длины $\Delta\lambda$, последняя из которых в первом приближении равняется $a = \text{const}$, то есть

$$n = \frac{c}{v_{\Phi}} = \frac{\lambda}{\Delta\lambda} = \frac{\lambda}{a} \bigg|_{f=\text{const}},$$

где n – коэффициент замедления (квантования), c и v_{Φ} – скорости электромагнитных процессов в свободном пространстве и ограниченном ($l = \text{const}$ (3)) соответственно. Но, уменьшение λ к $\Delta\lambda$ это не предел уменьшения, если обратить внимание на пространственные свойства снаружи псевдосферы, которые налагаются на линии магнитного поля \vec{H} вне АК.

Действительно, поскольку все точки на внешней поверхности псевдосферы являются гиперболическими – разрывными в пространстве [8, стр. 263], то внешние линии магнитного поля проводов-точек (в сечении) катушки индуктивности АК являются также разрывными в пространстве – не замкнутыми (ограниченными). Это иллюстрируется на фиг. 4, где показаны также линии электрического поля, сконцентрированные на мнимых емкостях этих проводов относительно окружающей среды – физического вакуума.

Разрывность линий магнитного (и электрического) поля каждого провода АК с диаметром $\varnothing = \text{const}$ ведет к уменьшению величины $\Delta\lambda$ к $\Delta\lambda^*$ и, в целом, к увеличению коэффициента замедления (квантования) –

$$n^* = \frac{c}{v_{\Phi}^*} = \frac{\lambda}{\Delta\lambda^*} \approx \frac{\lambda}{\varnothing} \bigg|_{f=\text{const}}, \quad (6)$$

где v_{Φ}^* – скорость электромагнитных процессов на внешней поверхности АК. Из (6) имеем равенство

$$\Delta\lambda^* \approx \varnothing. \quad (7)$$

Результат (7) позволяет сделать вывод: если катушка индуктивности АК намотана проводом с диаметром 0,1–1 мм, то длина волны (7) способна, согласно [9, стр. 396], ионизировать молекулы газа, вызывая его свечение.

В итоге, равенством (7) доказано присущность генератору фиг. 1 и второго, упомянутого выше, необходимого свойства. Этим равенством дополняется зависимость (5) в форме

$$\left(\begin{array}{l} V_{\Pi} = \frac{1}{2} \left(\frac{4}{3} \pi r^3 \right) \\ \int_{V_{\Pi \text{ АК}} \approx 0} \text{div} [\vec{E} \vec{H}] dV_{\Pi} \leq \int_{V_{\Pi \oplus}} \text{div} [\vec{E}_{\oplus} \vec{H}_{\oplus}] dV_{\Pi \oplus} \end{array} \right)_{\substack{f = \text{const} \\ \Delta \lambda^* = 0 \rightarrow}} \quad (8)$$

Формулой (8) утверждается, что фактором взаимодействия электромагнитных энергий АК и Земли является волна (квант) $\Delta \lambda^* \ll \lambda = \text{const}$ ($f = \text{const}$), которая, при размещении вокруг АК газоразрядных ламп, является также фактором ионизации (формализовано стрелкой \rightarrow) молекул газа в газоразрядных лампах, вызывая его свечение.

Теперь эксперимент.

На фиг. 5 схематически изображены условия эксперимента, где

1 – АК, которая имеет следующие данные:

а) $a = 10$ см;

б) количество витков – 375 проводу ПЭЛШО-0,23;

в) длина намотки ограничена по координате $x_1 = a = 10$ см, $\varphi = 16^\circ$, смотри таблицу);

2 – источник расходной энергии (генератор типа ГЗ-112/1 с усилителем ГЗ-112/1);

3 – четыре газоразрядных лампы (стандартные лампы дневного света типа ЛБ-20: длина – 62 см, диаметр – 4 см, мощность, – 20 Вт [10, стр. 252];

4 – осциллограф (типа С1-83), вход которого соединен с антенной А (отрезок провода длиной 10 см);

R – резистор 16 Ом.

V1, V2 – вольтметры (типа В7-26).

С отмеченными выше данными АК резонирует на частоте $f = 600$ кГц ($\lambda = 500$ м); при этом вольтметры V1 и V2 фиксируют напряжения $U_1 = 18$ В и $U_2 = 17$ В, соответственно, которые позволяют рассчитать ток через АК

$$I = \frac{U_1 - U_2}{R} = \frac{18 - 17}{16} = 0,062 \text{ (А)} \quad (9)$$

Напряжение на АК $U_2 = 17$ В и ток (9) позволяют вычислить расходную мощность P_B (расходную энергию за единицу времени 1 секунду)

$$P_B = U_2 I = 17 \cdot 0,062 = 1,02 \text{ (Вт)} \quad (10)$$

При этом, на экране осциллографа наблюдается действие электродвижущей силы ε , величина которой пропорциональна напряженности электрического поля E , которую создает АК, то есть

$$\varepsilon \approx E h = 1 \quad (11)$$

где h – длина антенны A , 1 – нормируемая к единице величина ε .

Контролируемые величины (9) и (11) определяют начальный режим работы генератора.

Контролировать параметры ламп ЛБ-20 можно или по световому потоку (700 люмен), или по мощности (20 Вт), или по световой отдаче [11, стр. 203]. В эксперименте контролировалась мощность, которая, согласно [12, стр. 110, 238], характеризует поток оптического излучения.

Исследованиями ламп ЛБ-20 установлено:

а) в номинальном режиме они потребляют мощность

$$P_H = U_H I_H = 63 \text{ В} \cdot 0,32 \text{ А} = 20,16 \text{ Вт};$$

б) в режиме гашения (в момент гашения) –

$$P_r = U_r I_r = 75 \text{ В} \cdot 0,013 \text{ А} = 0,98 \text{ Вт}. \quad (12)$$

Суть эксперимента в следующем.

Первый шаг.

Четыре лампы ЛБ-20 приближаются к АК, при этом:

а) на расстоянии $l = 0,15$ м лампы зажигаются (засвечиваются);

б) величины (9) и (11) изменяются, что указывает на расстройку резонансного контура АК и затрату части энергии источника 2 на зажигание четырех ламп ЛБ-20.

Эти результаты не дают возможность оценить соотношение между расходной мощностью и мощностью 4-х зажженных ламп ЛБ-20, поскольку последняя не контролируется.

Второй шаг.

Те же четыре лампы отдаляются от АК, при этом наблюдаются следующие результаты:

а) при $l = 0,3$ м световой поток от ламп уменьшается, а при $l = 0,6$ м лампы находятся на грани гашения или гаснут;

б) величины (9) и (11) не изменяются ни при $l = 0,3$ м, ни, тем более, при $l = 0,6$ м; то есть, величины (9) и (11) отвечают значению начального режима работы генератора, при котором расходная мощность является величиной (10).

Результаты второго шага дают возможность оценить соотношение между расходной мощностью и мощностью 4-х ламп ЛБ-20 в режиме гашения; то есть, при $l = 0,6$ м, на основе (10) и (12) имеем

$$P_B < 4 \cdot P_r \quad (1,02 < 4 \cdot 0,98). \quad (13a)$$

Несомненно, что при $l = 0,3$ м имеет место соотношение

$$P_B \ll 4(kP_T) \quad (136)$$

где $k > 1$ – коэффициент пропорциональности, за счет которого световой поток 4-х ламп при $l = 0,3$ м больше от светового потока при $l = 0,6$ м.

Числа 4 и $4k$ в соотношениях (13а) и (13б) определяют величину избыточной мощности (энергии) в сравнении из затратной P_T , которая через электромагнитное поле АК возбуждает электромагнитное поле Земли и свечение 4-х ламп ЛБ-20 (фиг. 1).

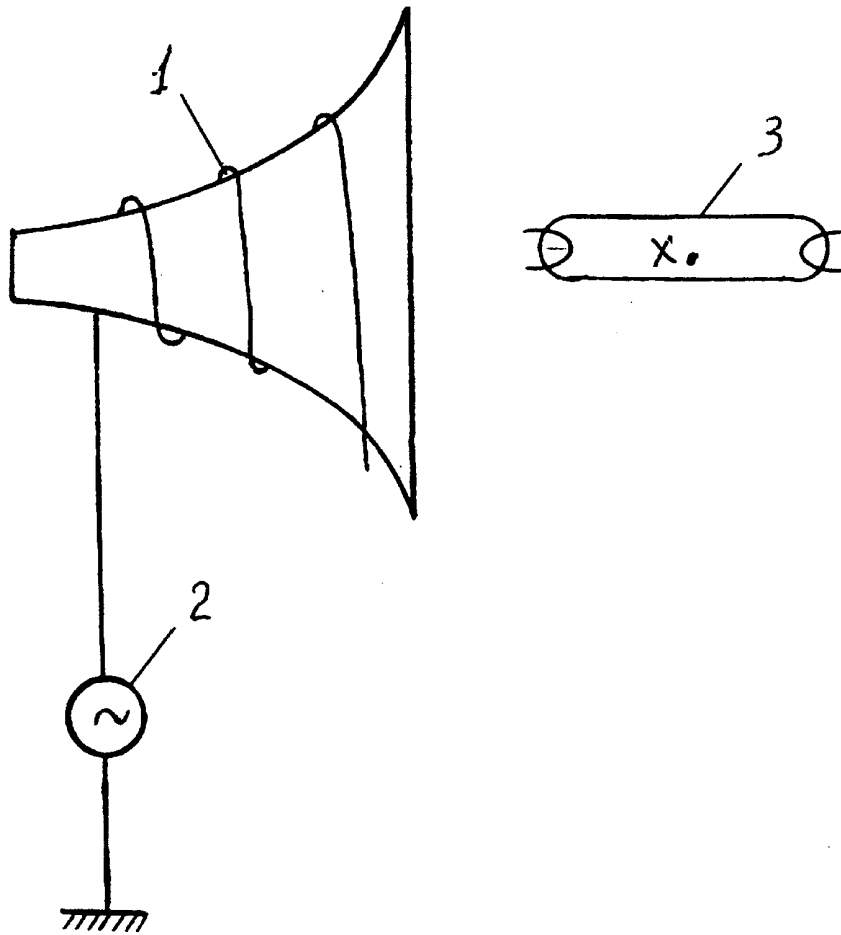
Существенно, что лампы дневного света в генераторе фиг. 1 работают без стартера, дросселя и конденсатора, какие необходимы в схемах питания их от электросети; функционально ненужны также, и могут быть изъяты, электроды – нити накаливания ламп.

Литература

- [1] Косинов Н.В., Гарбарук В.И. Мир подступает к вакуумной энергии. // Физический вакуум и природа. Черкассы. ВВІ «Мрія». № 2, 1999.
- [2] Федоткин И.М., Боровський В.В. Избыточная энергия и физический вакуум. Винница. «Прес-Реал», 2004.
- [3] Крюк В.Г. Естественная система единиц на базе единиц естественного времени. Киев, «ХаГар», 2001.
- [4] Крюк В.Г. Время и относительность. Киев, «ХаГар», 2004.
- [5] Vitaliy G. Kriuk Natural Time And Its Properties, in Cs. Varga, I. Diens & R.L. Amoroso (eds.) Unified Theories, The Noetic Press, Orinda, USA, 2008.
- [6] Крюк В.Г. Антенa Крюка. Київ, Патент України № 79626, Бюл. № 10, 2008.
- [7] Выгодский М.Я. Справочник по высшей математике. М., «Госиздат», 1963.
- [8] Бронштейн И.Н., Семиряев К.А. Справочник по математике. М. «Наука», 1969.
- [9] Яворский Б.М., Детлаф А.А. Справочник по физике. М., «Наука», 1980.
- [10] Айзенберг Ю.Б. Справочная книга по светотехнике. М., «Энергоиздат», 1995.
- [11] Рвачев В.П. Введение в биофизическую фотометрию. Львов. Издательство Львовского Университета, 1966.
- [12] Чертов А.Г. Единицы физических величин. М., «Высшая школа», 1997.

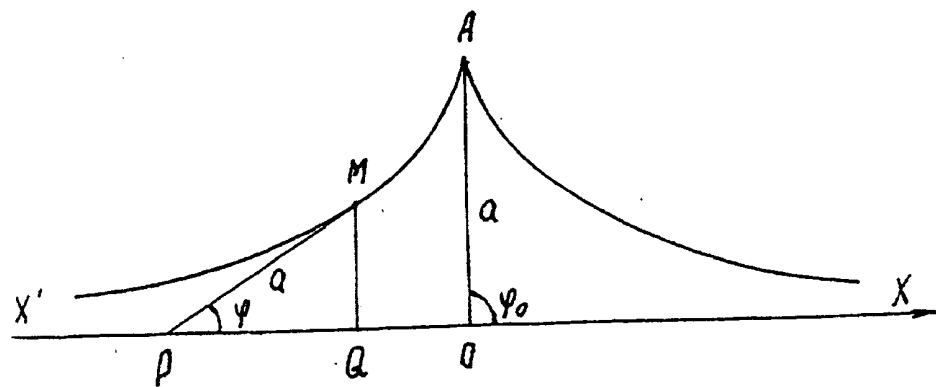
Формула изобретения

Генератор избыточной электромагнитной энергии отличается тем, что вокруг антенны Крюка, которая питается источником расходной электроэнергии, размещаются газоразрядные лампы освещения, которые питаются в основном избыточной электромагнитной энергией окружающей среды.

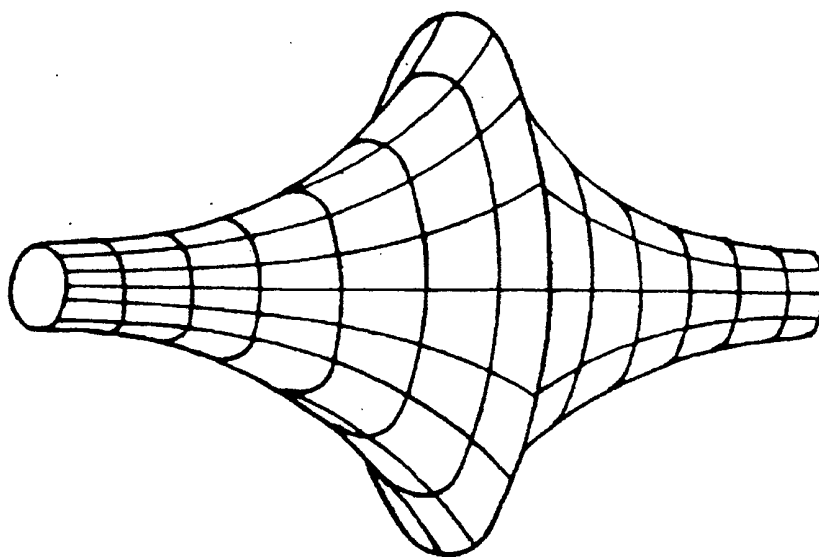


Фиг. 1

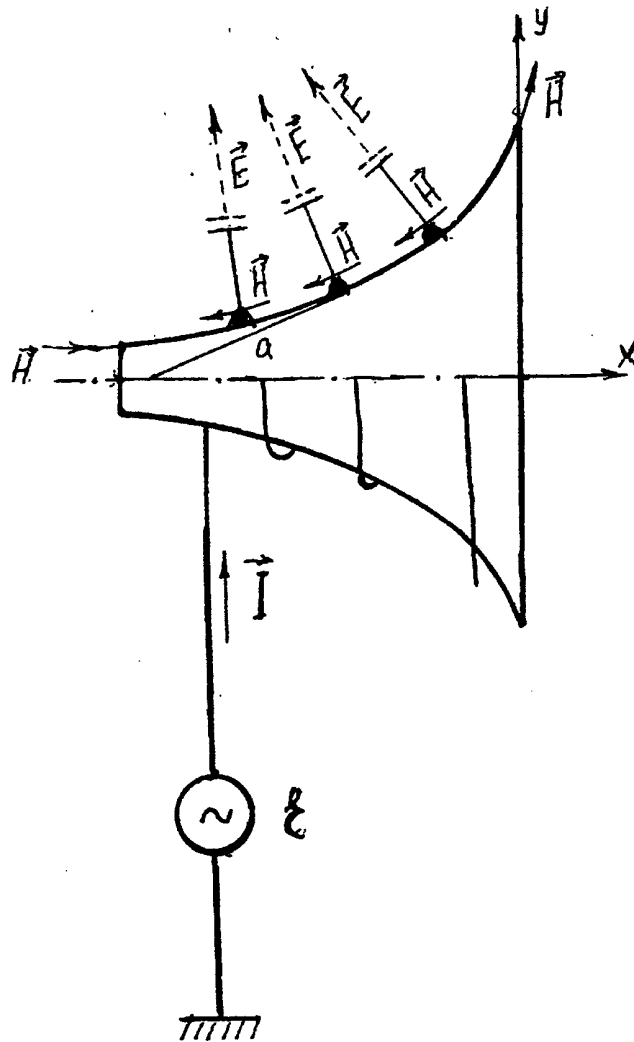
2/4



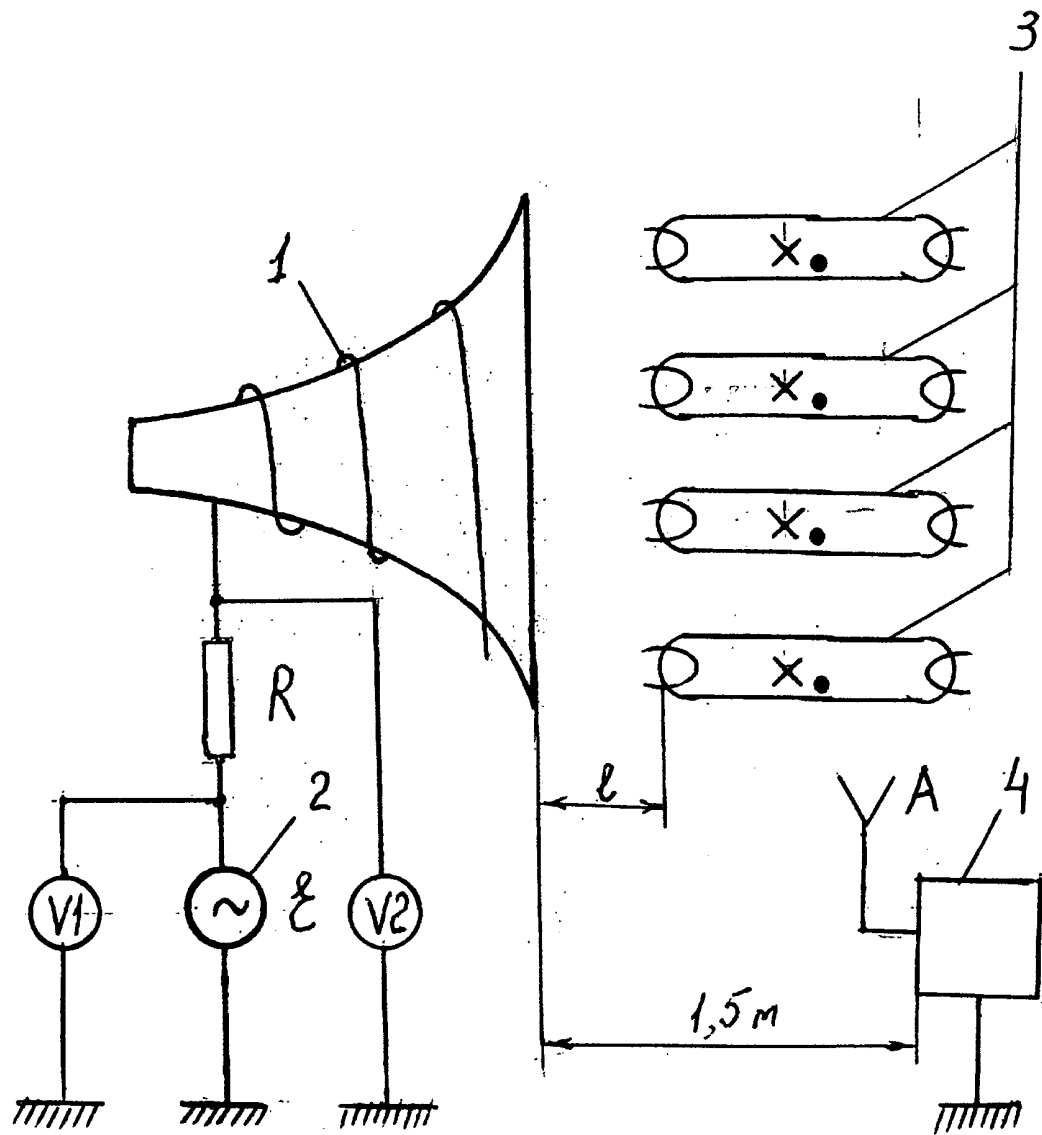
Фиг. 2



Фиг. 3



Фиг. 4



Фиг. 5

INTERNATIONAL SEARCH REPORT

International application No.
PCT/UA 2010/000004

A. CLASSIFICATION OF SUBJECT MATTER <div style="float: right; text-align: right;"> H02N 11/00 (2006.01) H01J 65/04 (2006.01) </div>				
According to International Patent Classification (IPC) or to both national classification and IPC				
B. FIELDS SEARCHED				
Minimum documentation searched (classification system followed by classification symbols) H02N 11/00, H01J 65/04, H01Q 1/00, H03B 1/00, H01J 61/02, H01Q 9/04				
Documentation searched other than minimum documentation to the extent that such documents are included in the fields searched				
Electronic data base consulted during the international search (name of data base and, where practicable, search terms used)				
C. DOCUMENTS CONSIDERED TO BE RELEVANT				
Category*	Citation of document, with indication, where appropriate, of the relevant passages	Relevant to claim No.		
Y	Eksperimentalnaya antenna 2-x metrovogo diapazona, Ted Khart (W5QJR), April 2007. [on-line]. [Found 23.06.2010]. Found in Internet: <URL:http://ehant.qrz.ru/exp_eh20.htm>	1		
Y	UA 79626 C2 (KRIUK VITALII GRIGOREVICH) 10.07.2007, abstract, figure 4, pages 4-7	1		
A	RU 2093950 C1 (VSEROSIISKII NAUCHNO-ISSLEDOVATELSKII INSTITUT EKSPERIMENTALNOI FIZIKI) 20.10.1997, abstract	1		
A	RU 2294034 C1 (ZAKRYTOE AKTSIONERNOE OBSHESTVO NAUCHNO-PROIZVODSTVENNYI TSENTR "SOLITON-NTT") 20.02.2007, abstract	1		
A	JP 2170340 A MATSUSHITA ELECTRIC WORKS LTD 02.07.1990 abstract	1		
<input type="checkbox"/> Further documents are listed in the continuation of Box C. <input type="checkbox"/> See patent family annex.				
<table style="width: 100%; border: none;"> <tr> <td style="width: 50%; vertical-align: top; border: none;"> * Special categories of cited documents: "A" document defining the general state of the art which is not considered to be of particular relevance "E" earlier application or patent but published on or after the international filing date "L" document which may throw doubts on priority claim(s) or which is cited to establish the publication date of another citation or other special reason (as specified) "O" document referring to an oral disclosure, use, exhibition or other means "P" document published prior to the international filing date but later than the priority date claimed </td> <td style="width: 50%; vertical-align: top; border: none;"> "T" later document published after the international filing date or priority date and not in conflict with the application but cited to understand the principle or theory underlying the invention "X" document of particular relevance; the claimed invention cannot be considered novel or cannot be considered to involve an inventive step when the document is taken alone "Y" document of particular relevance; the claimed invention cannot be considered to involve an inventive step when the document is combined with one or more other such documents, such combination being obvious to a person skilled in the art "&" document member of the same patent family </td> </tr> </table>			* Special categories of cited documents: "A" document defining the general state of the art which is not considered to be of particular relevance "E" earlier application or patent but published on or after the international filing date "L" document which may throw doubts on priority claim(s) or which is cited to establish the publication date of another citation or other special reason (as specified) "O" document referring to an oral disclosure, use, exhibition or other means "P" document published prior to the international filing date but later than the priority date claimed	"T" later document published after the international filing date or priority date and not in conflict with the application but cited to understand the principle or theory underlying the invention "X" document of particular relevance; the claimed invention cannot be considered novel or cannot be considered to involve an inventive step when the document is taken alone "Y" document of particular relevance; the claimed invention cannot be considered to involve an inventive step when the document is combined with one or more other such documents, such combination being obvious to a person skilled in the art "&" document member of the same patent family
* Special categories of cited documents: "A" document defining the general state of the art which is not considered to be of particular relevance "E" earlier application or patent but published on or after the international filing date "L" document which may throw doubts on priority claim(s) or which is cited to establish the publication date of another citation or other special reason (as specified) "O" document referring to an oral disclosure, use, exhibition or other means "P" document published prior to the international filing date but later than the priority date claimed	"T" later document published after the international filing date or priority date and not in conflict with the application but cited to understand the principle or theory underlying the invention "X" document of particular relevance; the claimed invention cannot be considered novel or cannot be considered to involve an inventive step when the document is taken alone "Y" document of particular relevance; the claimed invention cannot be considered to involve an inventive step when the document is combined with one or more other such documents, such combination being obvious to a person skilled in the art "&" document member of the same patent family			
Date of the actual completion of the international search 22 June 2010 (22.06.2010)		Date of mailing of the international search report 24 June 2010 (24.06.2010)		
Name and mailing address of the ISA/ <div style="text-align: center; font-weight: bold;">RU</div>		Authorized officer		
Facsimile No.		Telephone No.		

ОТЧЕТ О МЕЖДУНАРОДНОМ ПОИСКЕ

Международная заявка №
PCT/UA 2010/000004

А. КЛАССИФИКАЦИЯ ПРЕДМЕТА ИЗОБРЕТЕНИЯ: **H02N 11/00 (2006.01)**
H01J 65/04 (2006.01)

Согласно Международной патентной классификации МПК

В. ОБЛАСТЬ ПОИСКА:

Проверенный минимум документации (система классификации с индексами классификации):
H02N 11/00, H01J 65/04, H01Q 1/00, H03B 1/00, H01J 61/02, H01Q 9/04

Другая проверенная документация в той мере, в какой она включена в поисковые подборки:

Электронная база данных, использовавшаяся при поиске (название базы и, если, возможно, используемые поисковые термины):

С. ДОКУМЕНТЫ, СЧИТАЮЩИЕСЯ РЕЛЕВАНТНЫМИ:

Категория*	Цитируемые документы с указанием, где это возможно, релевантных частей	Относится к пункту №
Y	Экспериментальная антенна 2-х метрового диапазона, Тед Харт (W5QJR), апрель 2007. [он-лайн]. [найдено 23.06.2010]. Найдено из Интернет: <URL:http://ehant.qrz.ru/exp_eh20.htm>	1
Y	UA 79626 C2 (КРЮК ВИТАЛИЙ ГРИГОРЬЕВИЧ) 10.07.2007, реферат, фиг. 4, стр. 4-7	1
A	RU 2093950 C1 (ВСЕРОССИЙСКИЙ НАУЧНО-ИССЛЕДОВАТЕЛЬСКИЙ ИНСТИТУТ ЭКСПЕРИМЕНТАЛЬНОЙ ФИЗИКИ) 20.10.1997, реферат	1
A	RU 2294034 C1 (ЗАКРЫТОЕ АКЦИОНЕРНОЕ ОБЩЕСТВО НАУЧНО-ПРОИЗВОДСТВЕННЫЙ ЦЕНТР "СОЛИТОН-НТТ") 20.02.2007, реферат	1
A	JP 2170340 A (MATSUSHITA ELECTRIC WORKS LTD) 02.07.1990, реферат	1

☐ последующие документы указаны в продолжении графы С.

☐ данные о патентах-аналогах указаны в приложении

* Особые категории ссылочных документов:

A документ, определяющий общий уровень техники и не считающийся особо релевантным

E более ранняя заявка или патент, но опубликованная на дату международной подачи или после нее

L документ, подвергающий сомнению притязание (я) на приоритет, или который приводится с целью установления даты публикации другого ссылочного документа, а также в других целях (как указано)

O документ, относящийся к устному раскрытию, использованию, экспонированию и т.д.

P документ, опубликованный до даты международной подачи, но после даты испрашиваемого приоритета

T более поздний документ, опубликованный после даты международной подачи или приоритета, но приведенный для понимания принципа или теории, на которых основывается изобретение

X документ, имеющий наиболее близкое отношение к предмету поиска; заявленное изобретение не обладает новизной или изобретательским уровнем, в сравнении с документом, взятым в отдельности

Y документ, имеющий наиболее близкое отношение к предмету поиска; заявленное изобретение не обладает изобретательским уровнем, когда документ взят в сочетании с одним или несколькими документами той же категории, такая комбинация документов очевидна для специалиста

& документ, являющийся патентом-аналогом

Дата действительного завершения международного поиска: 22 июня 2010 (22.06.2010)

Дата отправки настоящего отчета о международном поиске: 24 июня 2010 (24.06.2010)

Наименование и адрес ISA/RU
ФГУ ФИПС
РФ, 123995, Москва, Г-59, ГСП-5, Бережковская наб., 30,1
Факс: (499) 243-3337

Уполномоченное лицо:
Г. Тараканова
Телефон № (495) 730-7641